

## ДВУМЕРНЫЙ ЭЛЕКТРОННО-ДЫРОЧНЫЙ КОНДЕНСАТ НА ПОВЕРХНОСТИ ГЕРМАНИЯ

*В.М.Аснин, А.А.Рогачев, В.И.Степанов, А.Б.Чурилов*

Обнаружено явление конденсации электронно-дырочных пар в двумерный электронно-дырочный конденсат на поверхности германия, имеющей высокую плотность поверхностных состояний.

В работе <sup>1</sup> обнаружена новая *S*-линия фотолюминесценции в германии, обусловленная излучательной рекомбинацией двумерных пространственно-разделенных слоев электронов и дырок, локализованных вблизи межфазной границы полупроводник – электролит. Такая система может существовать при наличии квантовой ямы для равновесных носителей заряда, созданной внешним электрическим полем, приложенным к поверхности полупроводника, и характеризуется отталкивательным взаимодействием между электронно-дырочными парами <sup>2, 3</sup>. Возрастание плотности пар в системе приводит к росту их энергии и коротковолновому сдвигу *S*-линии излучения <sup>1, 3</sup>.

В настоящей работе рассмотрена другая возможность образования двумерной электронно-дырочной системы, связанная с существованием высокой плотности поверхностных состояний, и показано, что в этом случае ее формирование может сопровождаться конденсацией электронно-дырочных пар на поверхности.

Оптическое возбуждение поверхности, имеющей концентрацию центров *M*, приведет к их перезарядке и появлению неравновесного поверхностного заряда *N<sub>s</sub>*, создающего электрическое поле в полупроводнике. Если *N<sub>s</sub>* достаточно велико, и  $\gamma_e > \gamma_h$  (см. ниже), то на поверхности образуется квантовая яма для дырок, что, в свою очередь, вызовет появление второй ямы для электронов <sup>2, 3</sup> (рис. 1). В предположении, что имеется только один тип по-

верхностных состояний, величина  $N_s$  в стационарных условиях определится уравнением

$$\frac{dN_s}{dt} = \gamma_e(M - N_s)N_e - \gamma_h N_s(N_e + N_s) = 0, \quad (1)$$

где  $\gamma_{e,h} = \sigma_{e,h} v_{e,h}$  — коэффициенты захвата для электронов и дырок,  $N_h = N_e + N_s$  и  $N_e$  — плотность электронно-дырочных пар в поверхностных квантовых ямах. Из (1) следует

$$N_s = -\frac{1}{2}N_e(1 + \gamma_e/\gamma_h) + \sqrt{\frac{1}{4}N_e^2(1 + \gamma_e/\gamma_h)^2 + MN_e\gamma_e/\gamma_h}. \quad (2)$$

Можно видеть, что однородное распределение зарядов вдоль поверхности в этом случае является неустойчивым. Рассмотрим энергию основного состояния пары

$$E_g = \frac{1}{N_e} \int_0^{N_e} \mu(N_e) dN_e \quad (3)$$

( $\mu$  — химический потенциал пары), выражение для которой легко получить в приближении  $N_e \ll M$  и  $\gamma_e > \gamma_h$ , когда в соответствии с (2)  $N_s \approx \sqrt{N_e M \gamma_e / \gamma_h} \gg N_e$ . Будем считать, что частицы находятся в квантовых ямах в основных состояниях и могут быть описаны вариационными волновыми функциями <sup>4</sup>  $\Psi_{h,e}(z) = (b_{h,e}^3/2)^{1/2} z \exp(-b_{h,e} z^2/2)$ .

В рассматриваемом приближении  $b_h \ll b_e$ , перекрытие волновых функций мало, и квантовые ямы можно считать независимыми друг от друга, так что поверхностным зарядом для первой является  $\approx N_s$ , а для второй — избыточная концентрация дырок в первой яме, равная  $N_e$ . Тогда вариационные параметры  $b_{h,e}$  даются формулами

$$b_h = \left( \frac{33}{2} \pi \frac{e^2 m_z^h N_s}{\epsilon \hbar^2} \right)^{1/3}, \quad b_e = \left( \frac{33}{3} \pi \frac{e^2 m_z^e N_e}{\epsilon \hbar^2} \right)^{1/3}, \quad (4)$$

где  $m_z^{e,h}$  — массы носителей заряда вдоль оси  $z$ , перпендикулярной поверхности, и для  $\mu$  можно получить

$$\mu \approx -0,1 \hbar^2 \left( \frac{b_h^2}{m_z^h} - 6 \frac{b_e^2}{m_z^e} \right) - 0,54 \frac{e^2}{\epsilon} (N_s b_h)^{1/3} - \frac{e^2 b_e}{8\epsilon} + \pi \hbar^2 \left( \frac{N_s}{\nu_h m_{dh}} + \frac{N_e}{\nu_e m_{de}} \right) \quad (5)$$

Здесь первый член описывает энергию основного уровня дырок и электронов в приближении Хартри <sup>4</sup>, второй — обменную энергию дырок, полученную в модели локальной плотности <sup>5</sup>, третий — энергию электронно-дырочных корреляций, рассматриваемую как энергию взаимодействия электронов с их изображением в первом слое <sup>2</sup>, и последний член — ферми-энергию частиц в ямах. Из (3), (4) и (5) следует

$$E_g = -0,3 \hbar^2 \left( \frac{1}{4} \frac{b_h^2}{m_z^e} - \frac{6}{5} \frac{b_e^2}{m_z^e} \right) - 0,44 \frac{e^2}{\epsilon} (N_s b_h)^{1/3} - \frac{3}{32} \frac{e^2 b_e}{\epsilon} + \pi \hbar^2 \left( \frac{2}{3} \frac{N_s}{\nu_h m_{dh}} + \frac{1}{2} \frac{N_e}{\nu_e m_{de}} \right). \quad (6)$$

Зависимость  $E_g(N_e)$  показана на рис. 1. Наличие минимума энергии означает, что устойчивое стационарное состояние будет соответствовать разбиению системы на области, представляющие собой двумерные электронно-дырочные слои, плотность пар в которых постоянна и отвечает минимуму их свободной энергии и области, где квантовые ямы отсутствуют. Это явление может рассматриваться как конденсация электронно-дырочных пар на поверхности <sup>6</sup> и должно проявиться в постоянстве формы и положения  $S$ -линии при изменении уровня возбуждения.

Случай высокой плотности поверхностных состояний был реализован при травлении германия в азотной кислоте с концентрацией, меньшей  $10N$ , когда согласно <sup>7</sup>, плотность поверхностных состояний может достигать величины  $\approx 10^{13} \text{ см}^{-2}$ . Опыты делались на германии *p*-типа. Методика эксперимента была такая же, как и в работе <sup>1</sup>.

Спектры фотолюминесценции поверхности германия показаны на рис. 2. Характерной особенностью спектров является присутствие двух новых линий  $S_2$  и  $S_3$ , разделение которых оказалось возможным из-за разной зависимости их интенсивности от уровня возбуждения (рис. 3). Положение и форма линий практически не зависят от уровня возбуждения. Относительная интенсивность  $S_2$ -линии коррелирует с полученной в работе <sup>7</sup> зависимостью плотности поверхностных состояний от концентрации  $\text{HNO}_3$ : максимальна при  $1N$  и  $7N$ , когда  $M \sim 10^{13} \text{ см}^{-2}$ , и несколько слабее при  $3N$ , когда  $M \sim 10^{12} \text{ см}^{-2}$ .

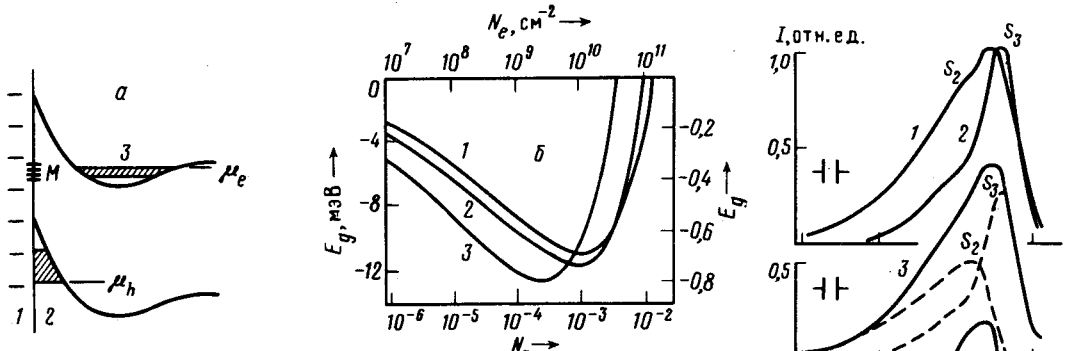


Рис. 1

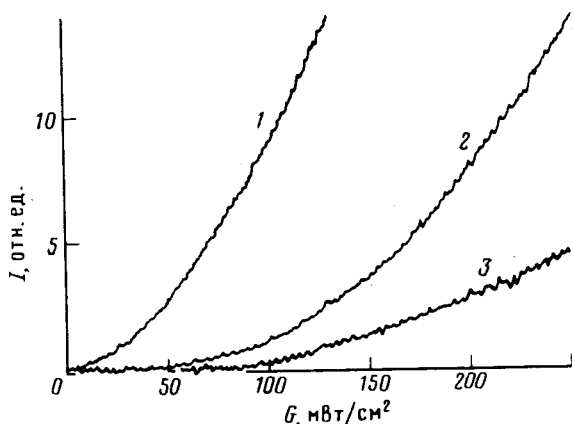


Рис. 3

Рис. 1. *a* – Зонная схема поверхности германия с концентрацией поверхностных центров  $M$  при фотовозбуждении: 1 – заряд поверхностных центров, 2 – дырочная квантовая яма, 3 – электронная квантовая яма; *б* – зависимость энергии основного состояния электронно-дырочных пар для  $\langle 100 \rangle$  поверхности германия от их плотности при разной концентрации поверхностных состояний  $M$ ,  $\text{см}^{-2}$ : 1 –  $5 \cdot 10^{12}$ , 2 –  $1 \cdot 10^{13}$ , 3 –  $5 \cdot 10^{13}$ ,  $\gamma_e/\gamma_h = 10^2$ ,  $m_z^h = 0,3 m_0$ ,  $m_{dh} = 0,4 m_0$ ,  $m_z^e = 0,12 m_0$ ,  $m_{de} = 0,3 m_0$ ,  $\nu_h = 1$ ,  $\nu_e = 4$ ,  $T = 0 \text{ К}$ . Левая и нижняя шкалы построены в боровских единицах дырок:  $Ry$  и  $z_h^{-2}$  где  $r_h = \hbar e/(e^2 m_z^h)$

Рис. 2. Спектры излучения  $\langle 100 \rangle$  поверхности германия после травления в  $\text{HNO}_3$  с концентрацией: 1 –  $1N$ , 2 –  $3N$ , 3, 4, 5 –  $7N$  при разных уровнях возбуждения  $G$ ,  $\text{Вт} \cdot \text{см}^{-2}$ : 1, 2, 3 –  $1,25$ ; 4 –  $0,32$ ; 5 –  $0,1$ . Линии  $S_2$  и  $S_3$  содержат в себе  $LA$  и  $TO$  компоненты.  $T = 4,2 \text{ К}$

Рис. 3. Зависимость интенсивности излучения экситонов ( $\hbar\nu = 0,714 \text{ эВ}$ ) –  $S_3$ -линии ( $\hbar\nu = 0,707 \text{ эВ}$ ) – 2 и  $S_2$ -линии ( $\hbar\nu = 0,690 \text{ эВ}$ ) от уровня возбуждения для  $\langle 100 \rangle$  поверхности германия, травленной в  $1N \text{ HNO}_3$

Для исследованных межфазных границ характерно наличие слабого приповерхностного поля, исключающего возможность образования равновесной квантовой ямы на поверхности германия. Тем не менее форма и положение в спектре  $S_2$ -линий оказываются близки к  $S$ -линиям, обнаруженной в  $^1$  для структуры германий –  $14\text{NHNO}_3$  в условиях, когда существует сильный изгиб зон, соответствующий появлению  $p$ -канала проводимости, но плотность поверхностных состояний мала ( $M \sim 10^{11} \text{ см}^{-2}$ ). Это позволяет предположить, что  $S_2$ -линия обусловлена двумерными электронно-дырочными слоями, возникающими из-за перезарядки поверхностных центров с  $\gamma_e > \gamma_h$  и существующими в виде двумерного конденсата с постоянной плотностью пар. Такое заключение подтверждается также пороговым характером появления  $S_2$ -линии в спектре с ростом уровня возбуждения (рис. 3).

В отличие от  $S_2$ -линий положение в спектре  $S_3$ -линий не зависит от типа используемого электролита и ориентации поверхности кристалла. Линия существует при  $T \leq 10 \text{ K}$  и также появляется порогом с ростом концентрации экситонов (рис. 3). Можно думать, что  $S_3$ -линия излучения обусловлена электронно-дырочной жидкостью (ЭДЖ), локализованной вблизи поверхности и захваченной в мелкую поверхностную потенциальную яму, обусловленную поверхностным изгибом зон. Из спектрального положения и ширины линии можно оценить энергию связи экситонов в поверхностной ЭДЖ  $\varphi_0 \approx 4 \text{ мэВ}$ .

В заключение отметим, что явление поверхностной конденсации электронно-дырочных пар, наблюдавшееся ранее в полупроводниках  $A^3B^5$  и  $A^2B^6$ , по-видимому, может быть описано в рамках рассмотренной здесь модели.

Авторы благодарят О.В.Романова за полезные дискуссии.

#### Литература

1. Ачин В.М., Рогачев А.А., Степанов В.И., Чурилов А.Б. Письма в ЖЭТФ, 1986, **43**, 284.
2. Алтухов П.Д., Иванов А.В., Ломасов Ю.Н., Рогачев А.А. Письма в ЖЭТФ, 1983, **38**; 5; 1984, **39**, 432.
3. Алтухов П.Д., Иванов А.В., Ломасов Ю.Н., Рогачев А.А. ФТТ, 1985, **27**, 1690.
4. Ando T., Fowler A.B., Stern F. Rev. Mod. Phys., 1982, **54**, 437.
5. Stern F., Das Sarma S. Phys. Rev. B, 1984, **30**, 840.
6. Литовченко В.Г., Горбань А.П. Основы физики микроэлектронных систем металл – диэлектрик – полупроводник. Киев : Наукова думка, 1978, с. 312.
7. Романов О.В., Коноров П.П., Карева Г.Г. Электронные процессы на поверхности и в монокристаллических слоях полупроводников. Под ред. А.В.Ржанова, Новосибирск: Наука, 1967, с. 114.